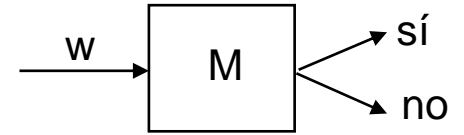


Clase teórica 7

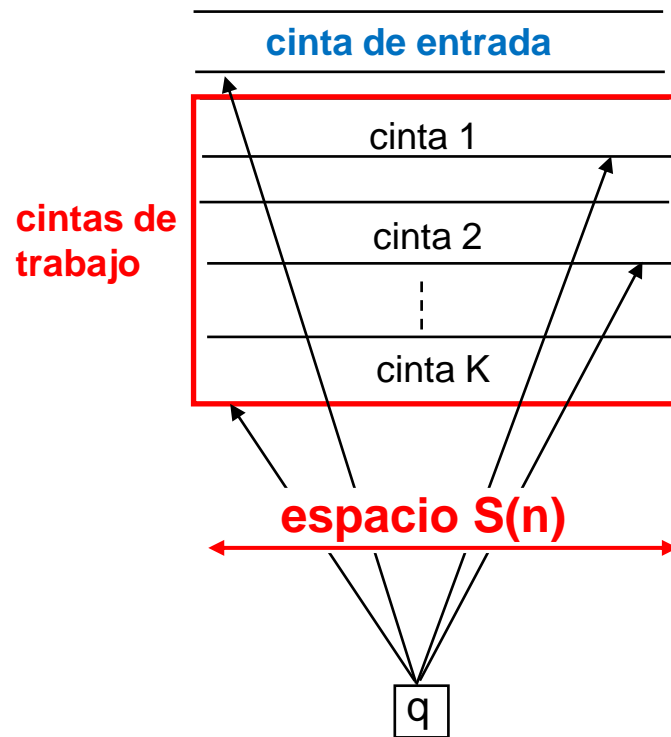
**La jerarquía espacio-temporal
y
otros temas de complejidad computacional**

Complejidad espacial

- Una MT M ocupa **espacio $S(n)$** sii al ejecutarse desde toda entrada w , con $|w| = n$, M ocupa a lo sumo $S(n)$ celdas en cualquier cinta **distinta de la de entrada**.
- La cinta de entrada es de **sólo lectura y no se considera en la medición del espacio**. Esto permite un espacio **menor que lineal**, es decir menor que $O(n)$ (la cadena de entrada mide n).



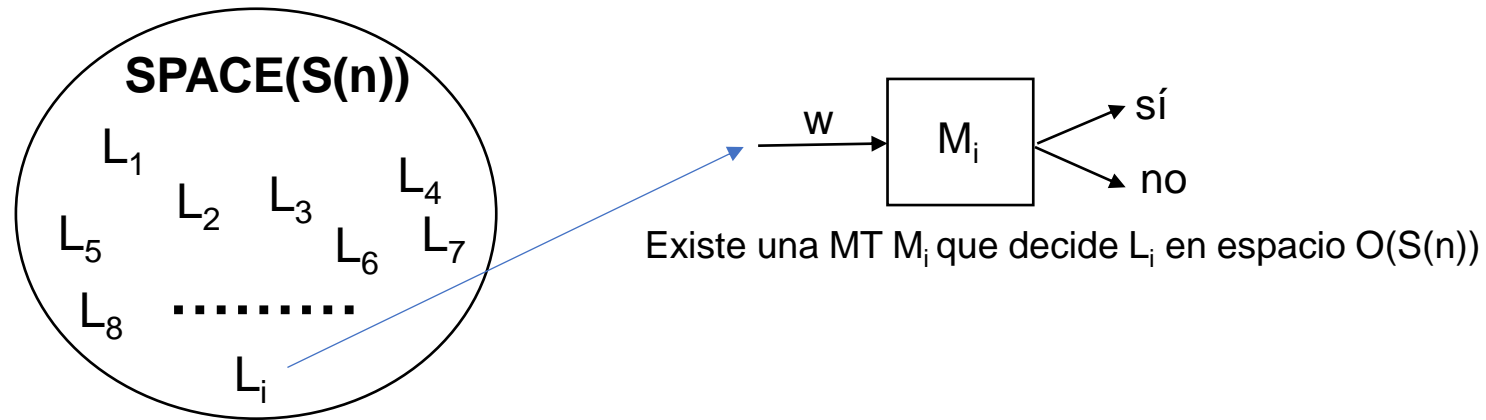
M ocupa a lo sumo $S(|w|)$ celdas, sin considerar la cinta de entrada.



Dada una MT M_1 de espacio $S(n)$ con varias cintas de trabajo, existe una MT M_2 equivalente de espacio $S(n)$ con una sola cinta de trabajo.

- En el caso más general con una cinta de salida, ésta **tampoco se considera en la medición del espacio**.

- Un lenguaje pertenece a la clase **SPACE(S(n))** sii existe una MT M que lo decide en espacio **O(S(n))**.



- Notar que:

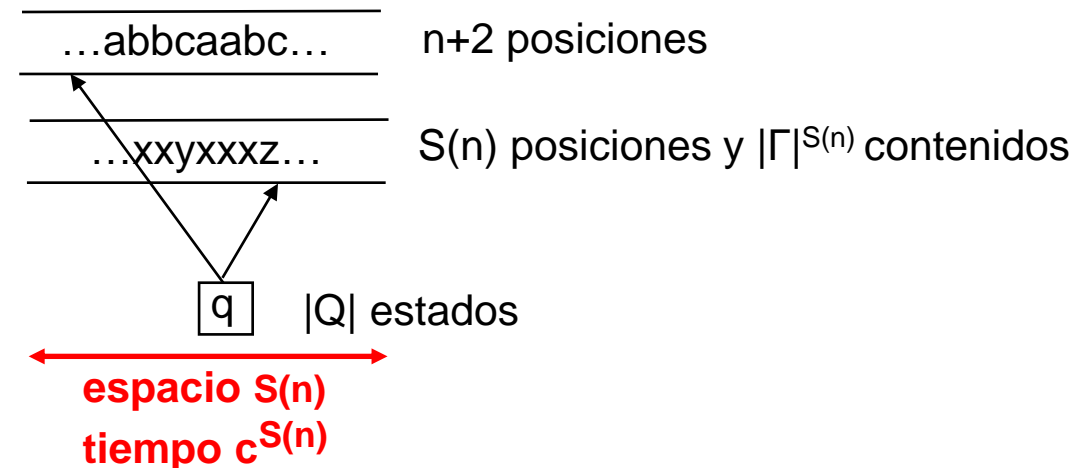
- Una MT M de **tiempo T(n)** ocupa a lo sumo espacio **T(n) celdas**. ¿Por qué?
- En cambio, una MT M que ocupa **espacio S(n)** puede tardar **mucho más que tiempo S(n)**:

Por ejemplo, si M tiene:

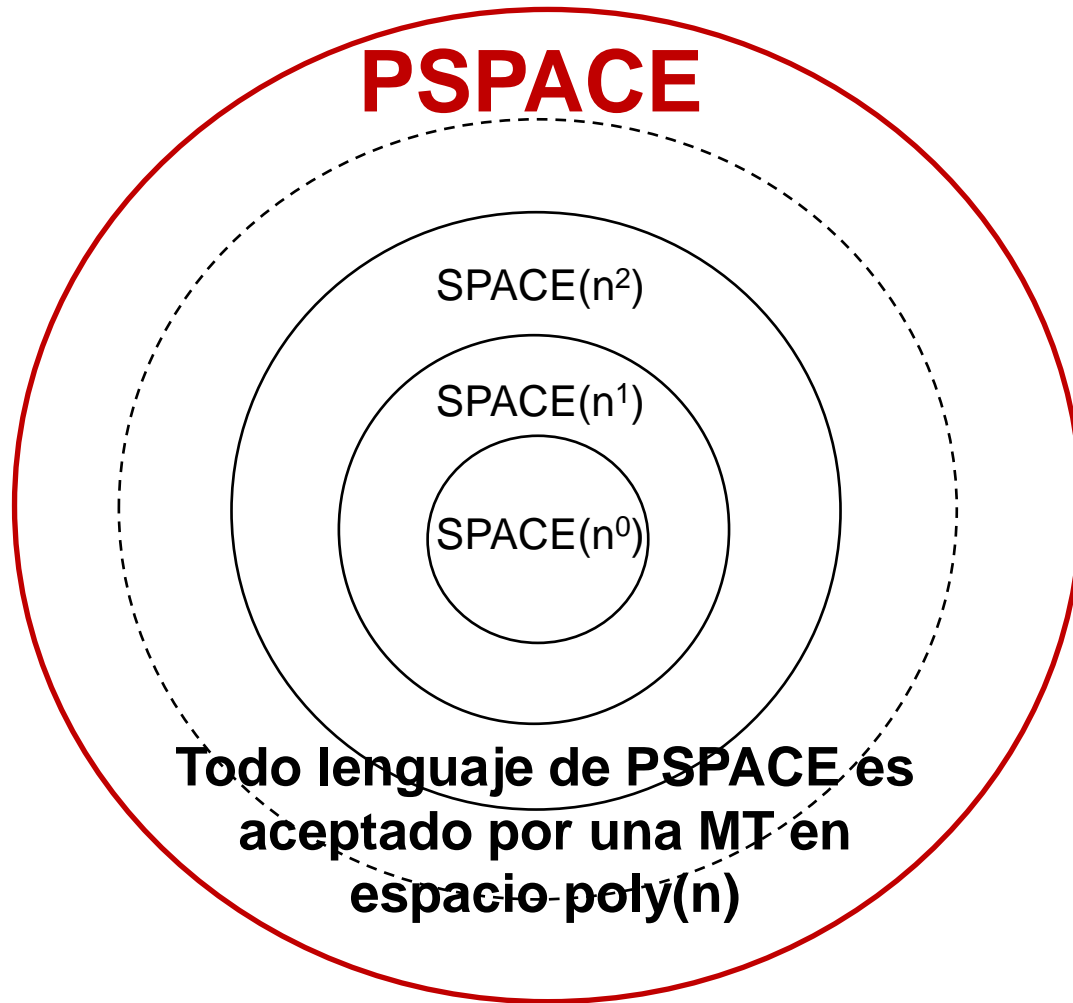
- una cinta de entrada de solo lectura
- una cinta de trabajo
- $|Q|$ estados
- $|\Gamma|$ símbolos

M puede llegar a hacer, si no loopea:

$$(n+2) \cdot S(n) \cdot |Q| \cdot |\Gamma|^{S(n)} \leq c^{S(n)} = \exp(S(n)) \text{ pasos.}$$



La clase PSPACE



Robustez: si una MT M_1 con K_1 cintas ocupa espacio $\text{poly}(n)$, existe una MT M_2 equivalente con K_2 cintas que también ocupa espacio $\text{poly}(n)$.

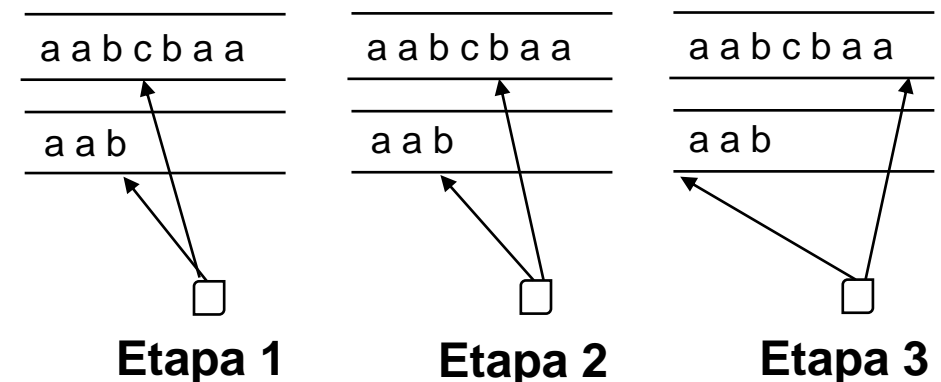
Ejemplo de lenguaje en la clase PSPACE

$L = \{vcv^R \mid v^R \text{ es la inversa de } v \text{ y tiene símbolos } a \text{ y } b\}$

La siguiente MT M decide L en **espacio $O(n)$** :

1. Copia la entrada hasta la c exclusive en la cinta 2.
2. Saltea la c en la cinta 1.
3. Compara símbolo a símbolo las dos cintas, yendo a la derecha en la cinta 1 y a la izquierda en la cinta 2. hasta llegar a un blanco en las dos cintas, en cuyo caso acepta.

Por ejemplo:



En la cinta 2, M ocupa espacio $O(n)$

La clase LOGSPACE

- En realidad, $L = \{vcv^R \mid v^R \text{ es la inversa de } v \text{ y tiene símbolos } a \text{ y } b\}$ se puede decidir en menos espacio:
- La siguiente MT decide L en espacio $O(\log_2 n)$. Veámoslo por ejemplo con la entrada $w = aabbbcbbaa$:
 - Hace $i := 1$ en la cinta 1.
 - Hace $j := n$ en la cinta 2. Si j es par, rechaza.
 - Copia el símbolo i de w en la cinta 3.
 - Copia el símbolo j de w en la cinta 4.
 - Si $i = j$: si los símbolos son **c**, acepta, si no, rechaza.
Si $i \neq j$: si los símbolos no son los dos **a** o los dos **b**, rechaza.
 - Hace $i := i + 1$ en la cinta 1.
 - Hace $j := j - 1$ en la cinta 2.
 - Vuelve al paso 3.

La MT M ocupa el espacio de los contadores i y j , que en binario miden $O(\log_2 n)$, más 2 celdas para alojar cada vez a los símbolos comparados (**espacio constante**).
Por lo tanto, $L \in \text{SPACE}(\log_2 n)$.
A esta clase se la denomina **LOGSPACE**.

1ra iteración		2da iteración	
a a b b b c b b b a a		a a b b b c b b b a a	
1	i = 1	1	i = 2
2	j = 11	2	j = 10
3	a	3	a
4	a	4	a
.....			
anteúltima iteración		última iteración	
a a b b b c b b b a a		a a b b b c b b b a a	
1	i = 5	1	i = 6
2	j = 7	2	j = 6
3	b	3	c
4	b	4	c

La jerarquía espacial

- **LOGSPACE** es la clase de los lenguajes decidibles en espacio $O(\log_2 n)$
- **PSPACE** es la clase de los lenguajes decidibles en espacio $\text{poly}(n)$
- **EXPSPACE** es la clase de los lenguajes decidibles en espacio $\exp(n)$

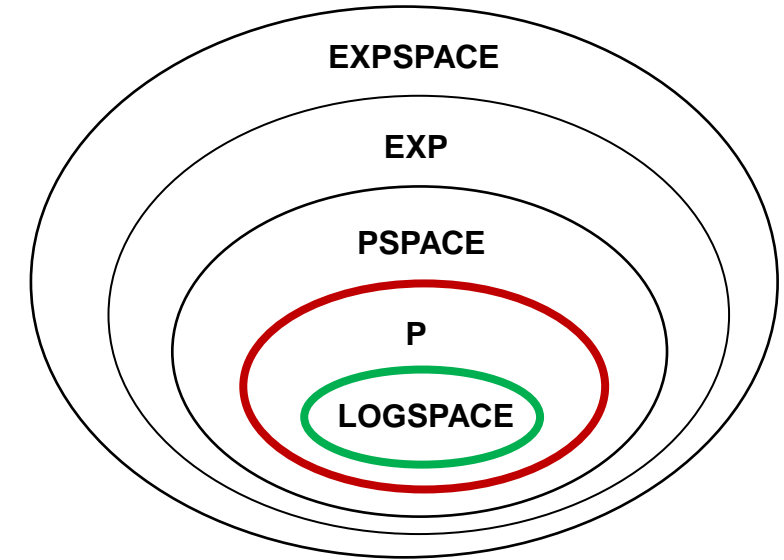
De antes: **espacio $S(n)$ implica tiempo $c^{S(n)}$** , con c constante

En particular: **espacio $\log_2 n$ implica tiempo $c^{\log_2 n}$** , con c constante

Pero: **$c^{\log_2 n} = n^{\log_2 c}$** , con c constante, es decir **$\text{poly}(n)$**

por lo tanto: **espacio $\log_2 n$ implica tiempo $\text{poly}(n)$**

En definitiva, **LOGSPACE \subseteq P**,
es decir que **los lenguajes de LOGSPACE son tratables.**



Se prueba que $\text{LOGSPACE} \subset \text{PSPACE}$

Se conjetura que $\text{LOGSPACE} \subset P$

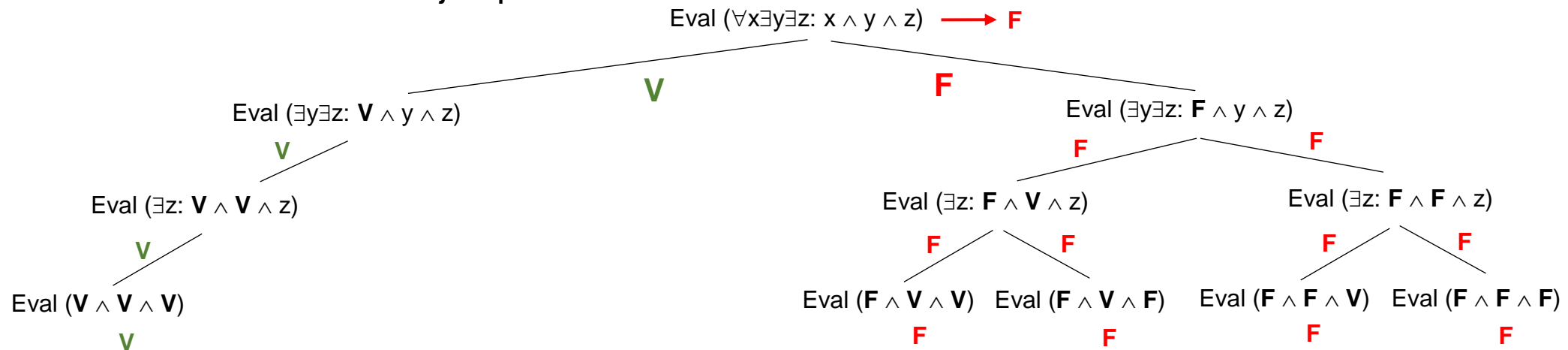
Se conjetura que $P \subset \text{PSPACE}$

Otro ejemplo de lenguaje en la clase PSPACE

QSAT = $\{\varphi \mid \varphi \text{ es una fórmula booleana con cuantificadores, no tiene variables libres, y es verdadera}\}$.

Por ejemplo: $\varphi_1 = \exists x \exists y \exists z: x \wedge y \wedge z$ (fórmula verdadera)
 $\varphi_2 = \forall x \exists y \exists z: x \wedge y \wedge z$ (fórmula falsa)

- QSAT está en PSPACE y no estaría en P ni NP.** La prueba de que QSAT está en PSPACE se basa en una función recursiva Eval. Por ejemplo:

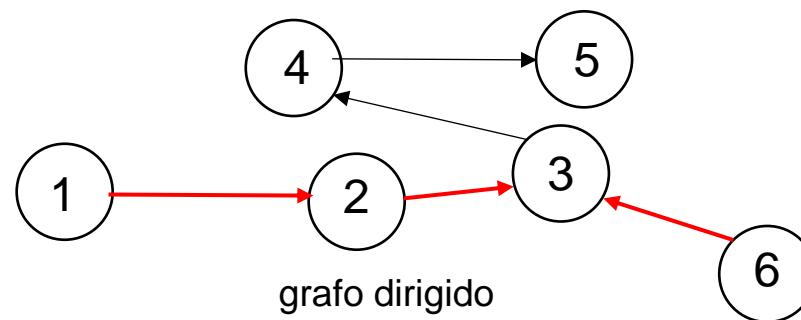
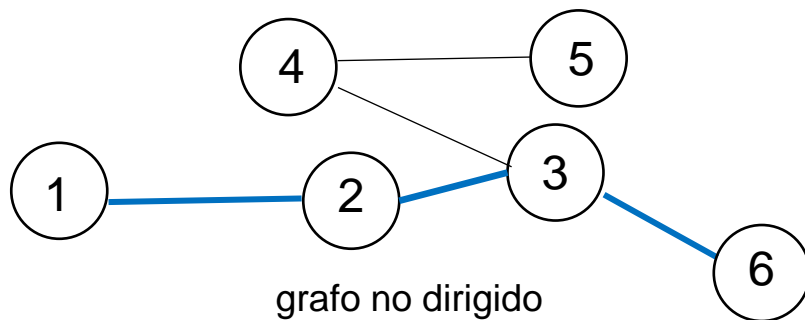
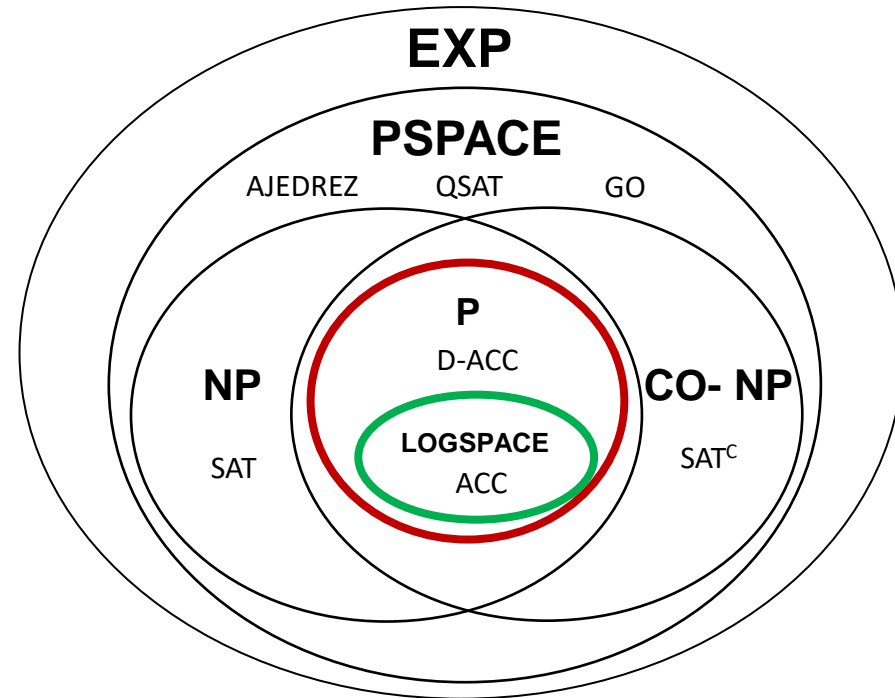


- El espacio que ocupa una rama de la recursión es **reutilizado** por la rama siguiente.
- La profundidad de la recursión es **$O(n)$** (a lo sumo hay tantas invocaciones como símbolos en la fórmula).
- El tamaño de cada instancia invocada es **$O(n)$** .
- Por lo tanto, el espacio total ocupado es **$O(n^2)$** .

Notar que ahora los certificados son árboles (no son sucintos)

La jerarquía espacio-temporal

- QSAT está entre los lenguajes más difíciles de PSPACE.
Es **PSPACE-completo** (todo $L \in \text{PSPACE}$ cumple $L \leq_p \text{QSAT}$).
- Otros problemas **PSPACE-completos** clásicos se asocian a típicos **juegos entre dos jugadores J_1 y J_2** , que plantean decidir si J_1 gana:
¿Existe una jugada de J_1 tal que para toda jugada de J_2 existe una jugada de J_1 tal que para toda jugada de $J_2 \dots J_1$ gana? Ejemplos:
el **ajedrez** y el **go** (asumiendo tableros de $n \times n$ entre otras cosas).
- Por otro lado,
ACC = {G | G es un grafo no dirigido con un camino del vértice 1 al vértice m} **está en LOGSPACE**,
y pareciera que el mismo lenguaje pero definido con grafos dirigidos es más difícil:
D-ACC = {G | G es un grafo dirigido con un camino del vértice 1 al vértice m} **no estaría en LOGSPACE**:

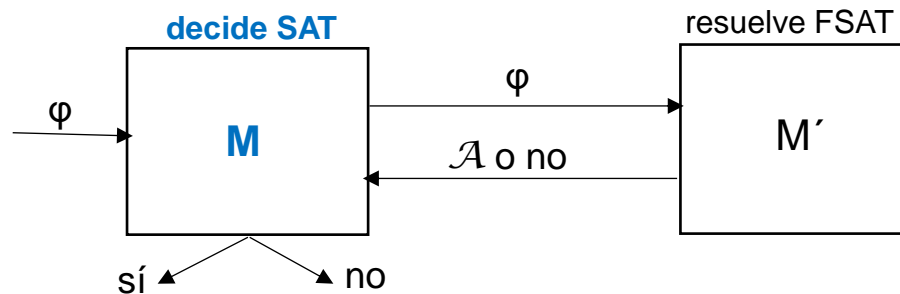


En el segundo caso hay que contemplar la dirección de los arcos

Complejidad temporal de los problemas de búsqueda

- Las clases P y NP correspondientes a los **problemas de búsqueda** (o **problemas de función**) se denominan **FP** y **FNP**. Para distinguirlos, a los nombres de los problemas de búsqueda se les antepone una **F**.
- Ejemplo. Problemas FSAT (búsqueda) y SAT (decisión).**

Claramente, FSAT es tan o más difícil que SAT:

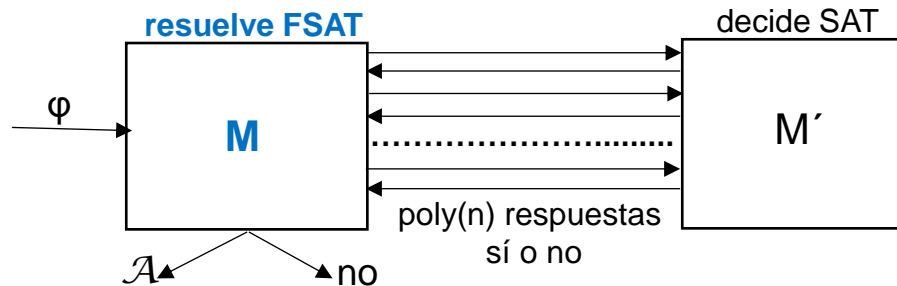


A partir de M' se puede construir M , tal que:
si M' resuelve FSAT en tiempo $\text{poly}(n)$,
entonces M decide SAT en tiempo $\text{poly}(n)$.

Formalizando:

**Si FSAT \in FP entonces SAT \in P. O lo mismo:
Si SAT \notin P entonces FSAT \notin FP.**

Menos intuitivo, también se cumple que SAT es tan o más difícil que FSAT:



A partir de M' se puede construir M , tal que:
si M' decide SAT en tiempo $\text{poly}(n)$,
entonces M resuelve FSAT en tiempo $\text{poly}(n)$.

Formalizando:

**Si SAT \in P entonces FSAT \in FP. O lo mismo:
Si FSAT \notin FP entonces SAT \notin P.**

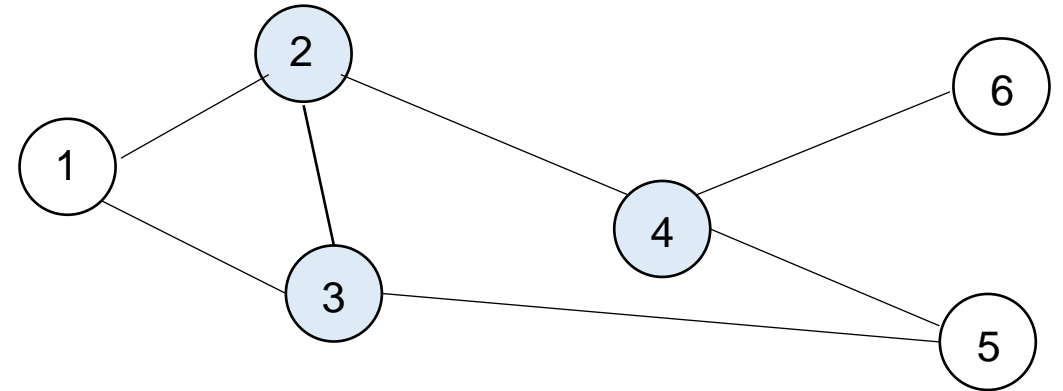
- Esto se cumple **para todos los lenguajes NP-completos**. También se cumple **P = NP** sii **FP = FNP**.

Aproximaciones polinomiales

- Cuando a un problema de búsqueda de **óptimo (máximo o mínimo)** no se le conoce resolución polinomial, se plantea resolverlo con una **aproximación polinomial** (MT de tiempo polinomial con una solución “buena”).
- **Ejemplo. Mínimo cubrimiento de vértices de un grafo (no tendría resolución polinomial).**
La siguiente MT M, en el peor caso, encuentra un cubrimiento con el **doble** de vértices del mínimo:

Dado $G = (V, E)$, la MT M hace:

1. $V' := \emptyset$ y $E' := E$
2. Si $E' = \emptyset$, acepta
3. $E' := E' - \{(v_1, v_2)\}$, siendo (v_1, v_2) algún arco de E'
4. Si $v_1 \notin V'$ y $v_2 \notin V'$, entonces $V' := V' \cup \{v_1, v_2\}$
5. Vuelve al paso 2



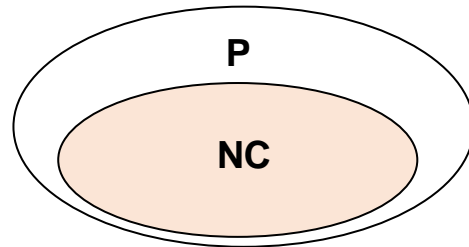
Es decir, se toman arcos no adyacentes de E y se construye un cubrimiento de vértices con sus dos extremos.

El cubrimiento mínimo del grafo de arriba tiene **tamaño 3**. La MT M puede generar, entre otros cubrimientos: $V' = \{1, 2, 3, 5, 4, 6\}$, de **tamaño 6**, y $V' = \{1, 2, 4, 5\}$, de **tamaño 4** (ejercicio: ¿cuáles otros?).

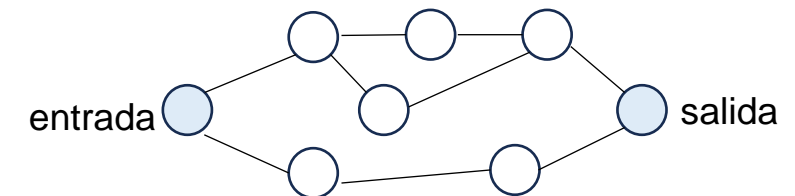
- Hay problemas con aproximaciones polinomiales muy buenas (la **diferencia ϵ con el óptimo tiende a 0**), y otros problemas que no cuentan con aproximaciones polinomiales (**cualquier ϵ que se fije es superado**).

Lenguajes con algoritmos paralelos eficientes

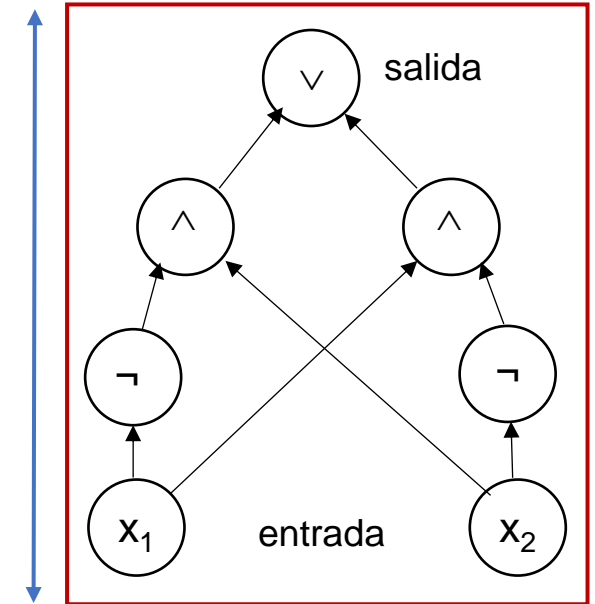
- Modelo más usual de ejecución paralela: **circuito booleano**.
- Un circuito booleano acepta una cadena sii **su salida es 1** (ver ejemplo).
- Para manejar todos los tamaños de cadenas, se usan **familias de circuitos**.
- Se define que un lenguaje cuenta con un **algoritmo paralelo eficiente**, sii lo acepta una familia de circuitos de tamaño **poly(n)** y profundidad **$\log^k(n)$** .
- La clase de estos lenguajes se llama **NC** (*Nick class*, por Nicholas Pippenger).
- Problemas clásicos de NC: **operaciones aritméticas, producto de matrices, búsqueda del camino mínimo en un grafo, ordenamiento de un vector, etc.**
- Se cumple **$NC \subseteq P$** . La conjetura más aceptada es que **$NC \neq P$** .



- Problema clásico que estaría en $P - NC$: **máximo flujo en una red**



profundidad (“tiempo paralelo”)



tamaño (cantidad de puertas)
Evaluación de $(x_1 \wedge \neg x_2) \vee (x_2 \wedge \neg x_1)$

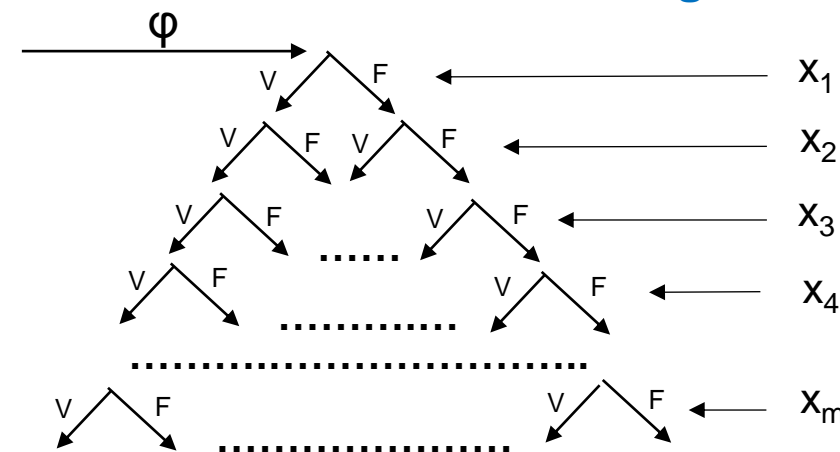
MT probabilísticas o MTP (algoritmos aleatorios)

Ejemplo 1

MAYSAT = $\{\varphi \mid \varphi \text{ es una fórmula booleana satisfactible por al menos la mitad más uno de las asignaciones}\}$

Sea la siguiente MTP M. Dada una fórmula φ con m variables:

- Asigna aleatoriamente V o F a la variable x_1 .
- Asigna aleatoriamente V o F a la variable x_2 .
-
- Asigna aleatoriamente V o F a la variable x_m .
- Evalúa φ con la asignación obtenida y acepta sii φ resulta V.

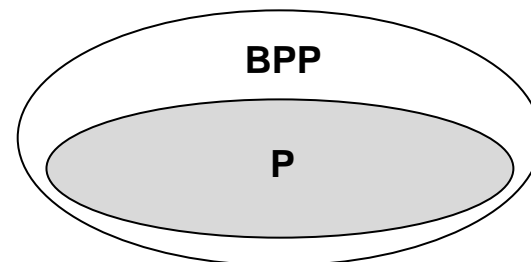


Si $\varphi \in \text{MAYSAT}$, la probabilidad de que M acepte es $> 1/2$
Si $\varphi \notin \text{MAYSAT}$, la probabilidad de que M rechace es $\geq 1/2$
Así, M puede equivocarse con cierta probabilidad.

Definición

- Una **MT probabilística** (MTP), en cada paso elige **aleatoriamente** una entre dos continuaciones, cada una con **probabilidad 1/2** (“tiro de moneda”).
- Un lenguaje L pertenece a la clase **BPP** (*bounded probabilistic polynomial*) sii existe una MTP M con computaciones de tiempo $\text{poly}(n)$ tal que:
 - Si $w \in L$, M acepta w en **al menos 2/3** de sus computaciones.
 - Si $w \notin L$, M rechaza w en **al menos 2/3** de sus computaciones.

Por lo tanto, las MTP asociadas a BPP tienen una **probabilidad de error $\epsilon \leq 1/3$** .



¿Por qué $P \subseteq BPP$?

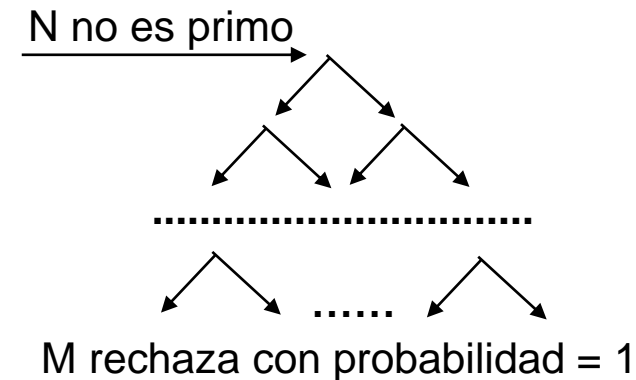
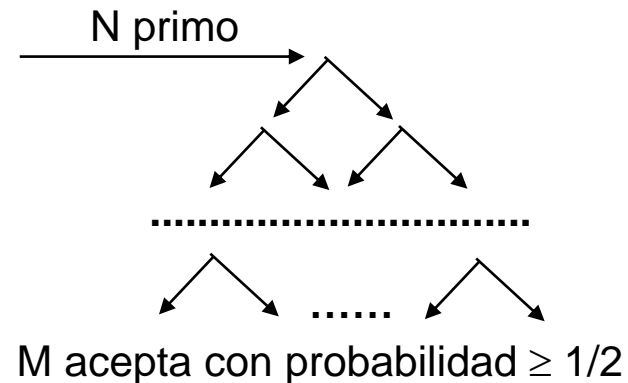
Ejemplo 2

PRIMOS = {N | N es un número primo}

A diferencia de MAYSAT, **PRIMOS pertenece a BPP** (y en 2002 se demostró que pertenece a P):

Existe una MTP M que, dada una entrada N:

- Si $N \in \text{PRIMOS}$, M acepta en **al menos la mitad de sus computaciones**.
- Si $N \notin \text{PRIMOS}$, M rechaza en **todas sus computaciones**.



- Es decir:

Si N no es primo, **M nunca se equivoca**.

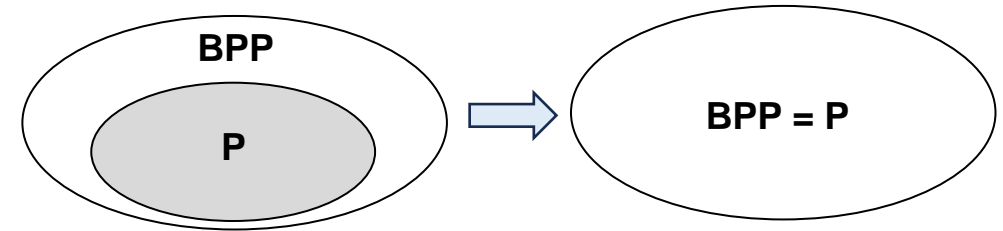
Si N es primo, **M se puede equivocar con probabilidad a lo sumo 1/2**.

De todos modos, la probabilidad de error de M **se puede decrementar significativamente**:

- Ejecutando M dos veces, la probabilidad de que se equivoque es a lo sumo $1/4$.
- Ejecutando M tres veces, la probabilidad de que se equivoque es a lo sumo $1/8$.
- En general, después de k ejecuciones, la probabilidad de que M se equivoque es a lo sumo $1/2^k$.

- A la clase BPP se la considera **la clase P probabilística**.
- Existen problemas que hoy día no cuentan con MT eficientes, pero sí MTP eficientes. Por ejemplo, el problema de decidir si **dos polinomios multivariados son iguales**. $\text{¿}5xy^2 + 8zx^4 - 17xyz + 4z = 3x(2y - 13y^4 + 4z) + 2xyz + yx^2\text{?}$
- Que PRIMOS esté en P, **no significa que no se use la MTP descrita recién** (es más rápida y simple).
- $P \subseteq BPP$ (una MT es un caso particular de MTP, que en todo par de opciones hace lo mismo).

- La **conjetura más aceptada es que $P = BPP$** .
Es decir, todo algoritmo probabilístico polinomial **se podría desaleatorizar con un retardo sólo polinomial**, por la posibilidad de simular lo aleatorio con **generadores pseudoaleatorios**, que generan a partir de pequeñas cadenas aleatorias (semillas) grandes cadenas que “parecen” aleatorias:



1011
semilla
aleatoria



11110100001110101110001111101010
Cadena indistinguible de una cadena aleatoria a los ojos de un observador (de tiempo polinomial)



Máquinas cuánticas o MC (algoritmos cuánticos)

- Las **máquinas cuánticas** (MC), a diferencia de las máquinas clásicas, tienen **cubits** en lugar de bits.
- Un cúbit, como un bit, puede estar en los **estados básicos 0 o 1**, pero a diferencia de un bit, puede estar también en un **estado de superposición de 0 y 1**. Los estados de un cúbit se suelen anotar así:

Estados posibles de un cúbit

$|0\rangle$ $|1\rangle$ $\alpha_0|0\rangle + \alpha_1|1\rangle$

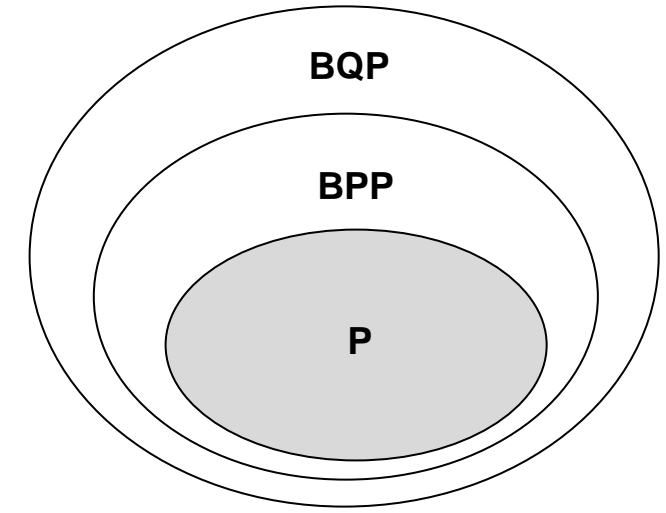
En el último caso, α_0 y α_1 son números complejos (**amplitudes**) que cumplen $|\alpha_0|^2 + |\alpha_1|^2 = 1$, tal que:

- El cúbit está en un estado de **superposición** de 0 y 1.
 - Al **medirlo** (leerlo), se obtiene el valor 0 con **probabilidad** $|\alpha_0|^2$ o el valor 1 con **probabilidad** $|\alpha_1|^2$.
 - Luego de la medición **se destruye la superposición** (el cúbit queda en el estado básico obtenido, 0 o 1).
- Así, utilizando registros con varios cubits, la capacidad computacional de las MC se torna **muy grande**:
 - 1 cúbit guarda la misma información que 2 bits: $\alpha_0|0\rangle + \alpha_1|1\rangle$.
 - 2 cubits lo mismo que 4 pares de bits: $\alpha_0|00\rangle + \alpha_1|01\rangle + \alpha_2|10\rangle + \alpha_3|11\rangle$.
 - 3 cubits lo mismo que 8 ternas de bits: $\alpha_0|000\rangle + \alpha_1|001\rangle + \dots + \alpha_7|111\rangle$.
 - Etc.
 - En el caso de una MC con un registro de 3 cubits, por ejemplo: la MC contempla 8 estados superpuestos hasta medir el registro, luego de lo cual se queda con un estado s_i con probabilidad $|\alpha_i|^2$, perdiéndose la superposición:

MC con 3 cubits

α_0	000
α_1	001
α_2	010
α_3	011
α_4	100
α_5	101
α_6	110
α_7	111

- Los cambios en los cubits se hacen con **operaciones o puertas cuánticas**. Una puerta cuántica se aplica sobre **uno, dos o tres cubits**. La cantidad de puertas ejecutadas establece el **tiempo** de la MC.
- La clase **BQP** (*bounded-error quantum polynomial time*), contiene los lenguajes aceptados por MC de tiempo **poly(n)**, con **probabilidad de error $\leq 1/3$** . Como las MTP, las MC **pueden equivocarse**, pero la probabilidad de error, repitiendo ejecuciones, es muy baja. **BQP es la clase P cuántica.**
- Se cumple **$P \subseteq BQP$** y también **$BPP \subseteq BQP$** . La conjetura más aceptada es que las dos inclusiones son estrictas. Otra conjetura aceptada es que **BQP y NP son incomparables** (ninguna clase incluye a la otra). También se cumple **$BQP \subseteq PSPACE$** .
- Un ejemplo de problema en BQP que hoy día no tiene un algoritmo clásico polinomial es la **factorización**. El algoritmo cuántico de **P. Shor** resuelve la factorización en tiempo polinomial.
- Las MC **no podrían decidir eficientemente los lenguajes NP-completos**. El algoritmo de **L. Grover** acelera “sólo” cuadráticamente el mejor algoritmo clásico para resolver SAT.
- Las MC en principio son factibles físicamente. Un aspecto a considerar muy relevante es el “**ruido**” (**interferencias**), que atenta contra las superposiciones de estados. Para combatirlo se vienen desarrollando distintos **procedimientos de manejo de errores**.

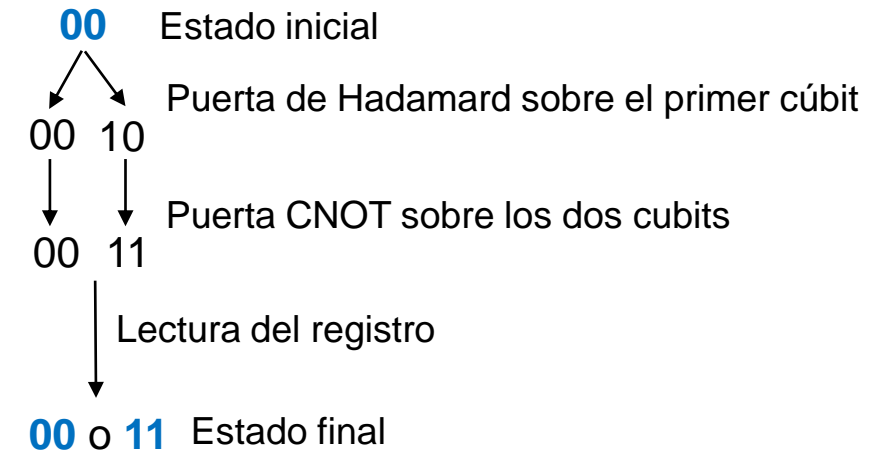


Por lo tanto, las MC podrían refutar la **Tesis Fuerte de Church-Turing**

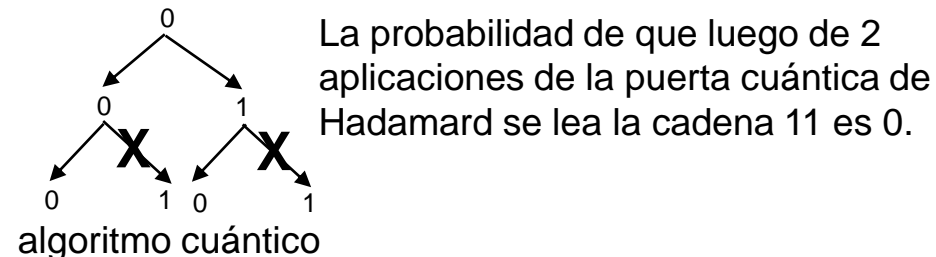
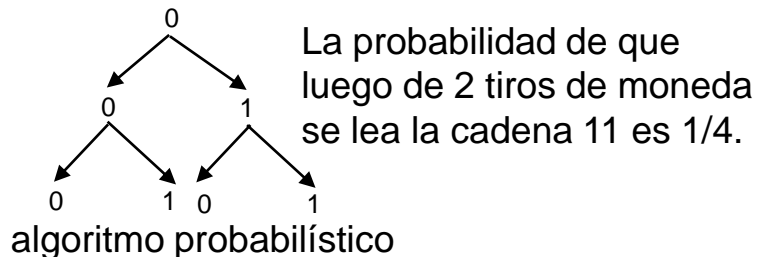
Ejemplo de puertas cuánticas y computación cuántica

- Puerta de Hadamard: dado un cúbit en estado básico 0 o 1, **lo pasa al estado de superposición 0 y 1**.
- Puerta CNOT: dados dos cubits, **invierte el estado del 2do sólo si el 1ro es 1**.

1. Sea un registro cuántico de dos cubits en el estado $|00\rangle$.
2. Aplicando sobre el primer cúbit la *puerta de Hadamard*, se obtiene la supersposición de los estados $|00\rangle$ y $|10\rangle$.
3. Aplicando sobre los dos cubits la *puerta CNOT*, se obtiene la superposición de los estados $|00\rangle$ y $|11\rangle$.
4. Finalmente, leyendo el registro, se obtiene el estado $|00\rangle$ o $|11\rangle$, cada uno con probabilidad $1/2$, y se destruye la superposición.

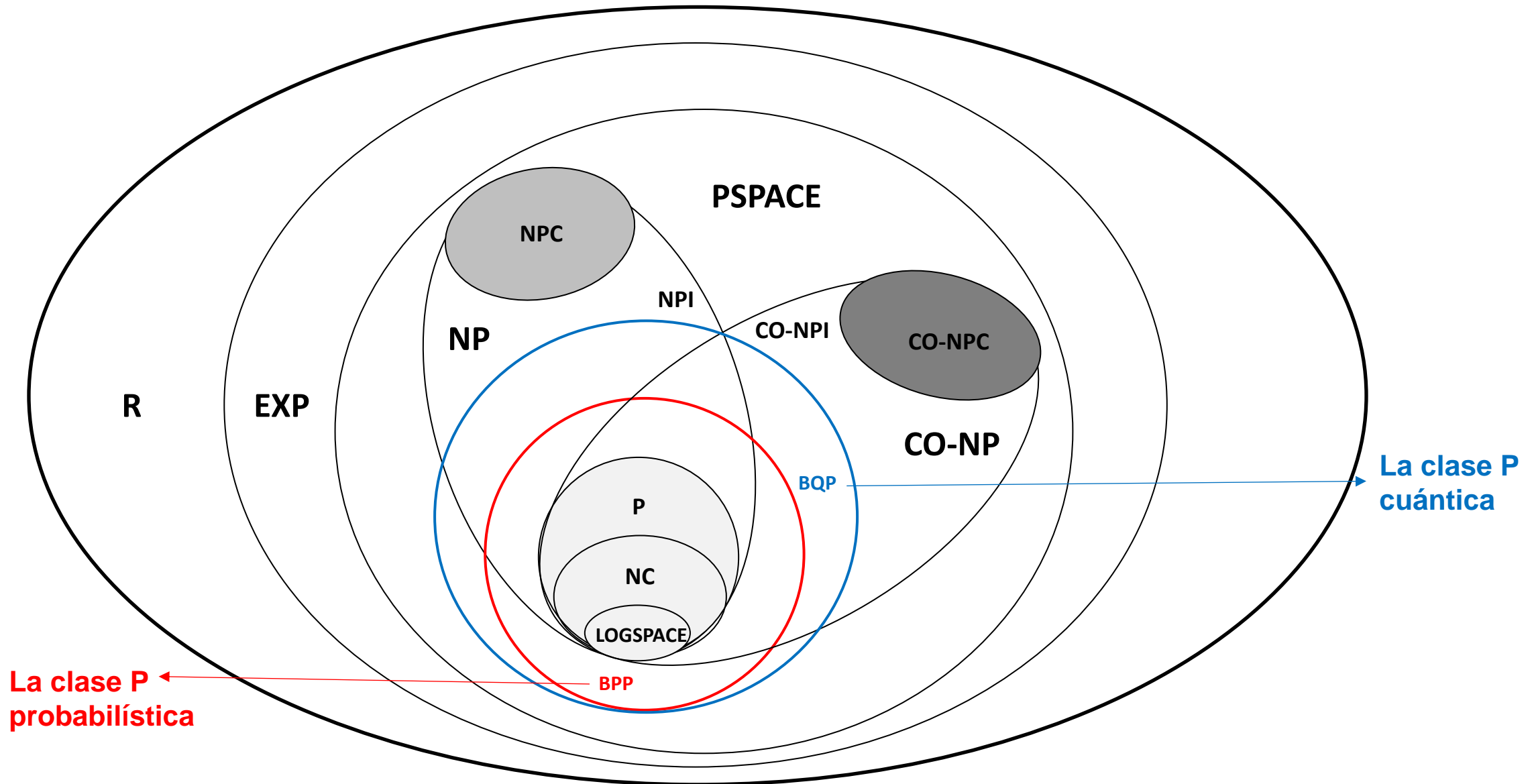


Diferencia entre los algoritmos probabilísticos y los algoritmos cuánticos



Sólo en las MC las computaciones **se interfieren**. Esto marcaría su **real ventaja** sobre las MTP.

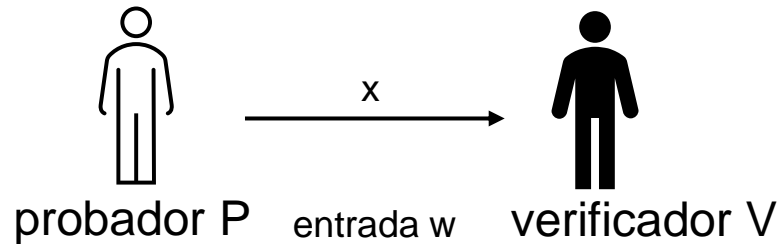
Las distintas jerarquías descriptas



Anexo

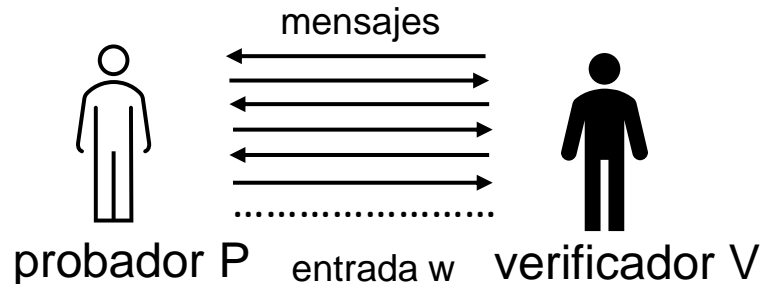
Sistemas interactivos

- Todo lenguaje L de NP cuenta con un verificador eficiente (MT de tiempo polinomial):



- Si $w \in L$, entonces existe un probador P que puede convencer al verificador V de que $w \in L$, por medio de un certificado sucinto x .
- Si $w \notin L$, entonces no existe ningún probador P que pueda convencer al verificador V de lo contrario, utilice el certificado x que utilice.
- Los probadores P son MT de poder ilimitado.

- El mismo esquema se puede generalizar a una serie de interacciones entre P y V :



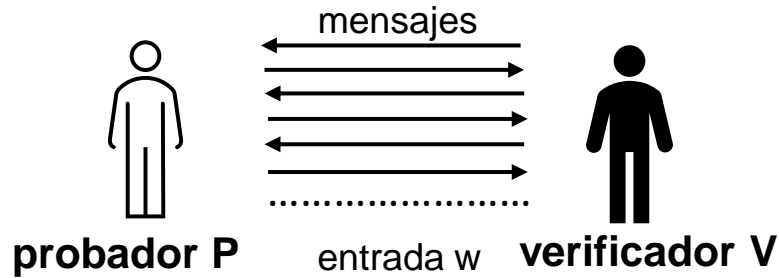
- El verificador V y el probador P se intercambian $\text{poly}(|w|)$ mensajes de tamaño $\text{poly}(|w|)$ (V envía preguntas y P envía respuestas).
- En este caso, el certificado x incluye todos los intercambios entre P y V .

- ¿Qué sucede cuando V es una MT probabilística? **¿Nos mantenemos dentro de la clase NP?**

La respuesta es **NO**. Un sistema interactivo de este tipo amplía su alcance a **toda la clase PSPACE**.

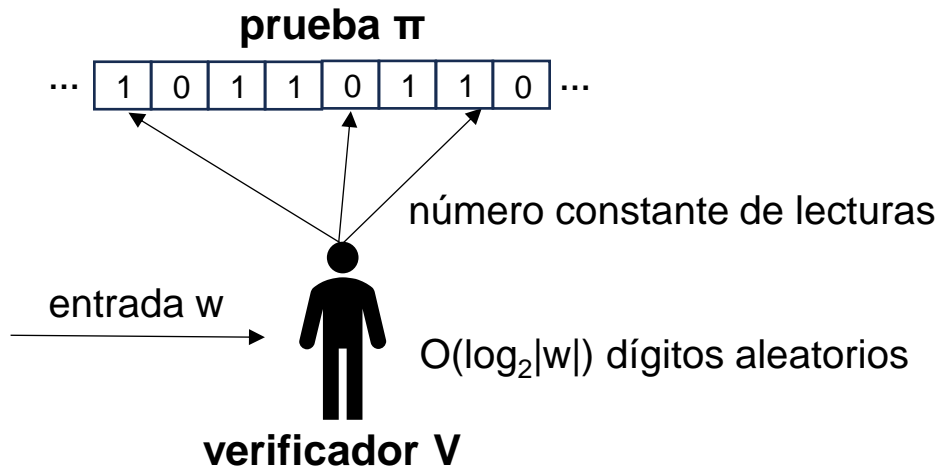
Otras caracterizaciones de NP con sistemas interactivos

- Con ciertas asunciones, se prueba que todo lenguaje L de NP cuenta con un sistema interactivo en el que V **no aprende nada** de P (sólo la pertenencia de w a L), conocido como **prueba de conocimiento cero**.



- En una prueba de conocimiento cero, el verificador V no aprende nada de sus interacciones con el probador P (**esquema muy útil en los procesos de seguridad, p.ej. en las autenticaciones**).

- Se prueba también que todo lenguaje L de NP cuenta con un **sistema de pruebas chequeables probabilísticamente** de tipo **PCP($\log_2 n, 1$)**:



- En este caso no hay un probador. Hay una prueba π de una cadena w , a la que el verificador V accede un **número constante de veces**, usando **$\log_2 |w|$ dígitos aleatorios**.
- ¡Esto significa que es tan seguro revisar una prueba línea por línea, como se hace habitualmente, que leer apenas unos pocos bits de la misma! (**esta propiedad es útil en el área de las aproximaciones polinomiales**).

Clase práctica 7

Ejemplo. Prueba de la NP-completitud del problema del cubrimiento de vértices

- Probaremos que $CV = \{(G, K) \mid G \text{ es un grafo no dirigido que tiene un cubrimiento de vértices de tamaño } K\}$ es NP-completo.
- Proponemos la siguiente reducción polinomial de 3-SAT (NP-completo) a CV (se prueba fácil que está en NP):

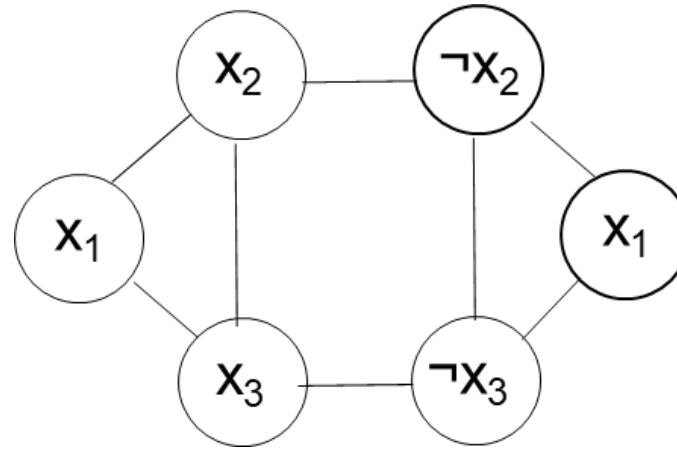
$$f(\varphi) = (G, 2K)$$

tal que φ es una fórmula booleana en FNC con tres literales por cláusula, K es la cantidad de cláusulas de φ , y G es un grafo que se construye de la siguiente forma:

1. Por cada literal de cada cláusula de φ se crea un vértice en G .
2. Todo par de vértices creados a partir de dos literales de una misma cláusula se unen por un arco (identificado como *enlace de tipo 1*). De esta manera, toda cláusula determina un triángulo con enlaces de tipo 1.
3. Todo par de vértices creados a partir de dos literales x_i y $\neg x_i$ de distintas cláusulas también se unen por un arco (identificado como *enlace de tipo 2*).

(sigue)

- Por ejemplo, el grafo G siguiente se obtiene a partir de la fórmula booleana $\varphi = (x_1 \vee x_2 \vee x_3) \wedge (x_1 \vee \neg x_2 \vee \neg x_3)$:



- Notar que $\{x_2, x_3, \neg x_2, \neg x_3\}$ es un **cubrimiento de vértices de tamaño 4 de G** , el doble de la cantidad de cláusulas de φ , tal como se requiere.
- La función f es efectivamente una **reducción polinomial de 3-SAT a CV**. En tiempo polinomial, por cada una de las K cláusulas se puede crear un triángulo, y por cada literal de cada cláusula se pueden crear $O(K)$ arcos.
- Y se cumple $\varphi \in 3\text{-SAT}$ sii $(G, 2K) \in \text{CV}$:

(sigue)

- Sean $\varphi \in 3\text{-SAT}$, \mathcal{A} una asignación que satisface φ , y el siguiente conjunto C de $2K$ vértices de G :

Incluye a todos los vértices asociados a los literales falsos de φ según \mathcal{A} , y si con esto no es suficiente para que tenga dos vértices de cada triángulo (por existir cláusulas de φ con dos o tres literales verdaderos según \mathcal{A}), incluye más vértices hasta completar el par.

Se cumple que C es un cubrimiento de vértices de G : todo enlace de tipo 1 está cubierto porque C tiene dos vértices de cada triángulo formado con dichos enlaces, y todo enlace de tipo 2 también está cubierto porque uno de sus vértices está asociado a un literal falso según \mathcal{A} , el cual está en C .

Así, $(G, 2K) \in CV$.

- Sean $(G, 2K) \in CV$, C un cubrimiento de vértices de tamaño $2K$ de G , y la siguiente asignación \mathcal{A} a φ :

A los literales asociados a los vértices que no están en C les asigna el valor *verdadero*, y al resto de los literales les asigna valores consistentes cualesquiera.

Se cumple que \mathcal{A} satisface φ : C está compuesto necesariamente por dos vértices de cada uno de los triángulos, y por lo tanto en toda cláusula hay un literal verdadero según \mathcal{A} . Además, \mathcal{A} no tiene inconsistencias, porque si dos literales x_i y $\neg x_i$ de dos cláusulas distintas son verdaderos según \mathcal{A} , significa que el enlace de tipo 2 asociado no está cubierto por C (contradicción).

Así, $\varphi \in 3\text{-SAT}$.